

ความทนแรงดึงของไฮบริดไธเดนท์ดินและวัสดุบูรณะเรซินคอมโพสิต



นางสาว เพ็ญธชา เจริญพานิช

ศูนย์วิทยทรัพยากร

จุฬาลงกรณ์มหาวิทยาลัย

วิทยานิพนธ์นี้เป็นส่วนหนึ่งของการศึกษาตามหลักสูตรปริญญาวิทยาศาสตรมหาบัณฑิต

สาขาวิชาทันตกรรมประดิษฐ์ ภาควิชาทันตกรรมประดิษฐ์

คณะทันตแพทยศาสตร์ จุฬาลงกรณ์มหาวิทยาลัย

ปีการศึกษา 2545

ISBN 974-17-2501-9

ลิขสิทธิ์ของจุฬาลงกรณ์มหาวิทยาลัย

TENSILE STRENGTH OF HYBRIDIZED DENTIN AND RESIN COMPOSITE



Miss. Penthacha Charoenpanich

ศูนย์วิทยุทันตวิทยา

จุฬาลงกรณ์มหาวิทยาลัย  
A Thesis Submitted in Partial Fulfillment of the Requirements  
for the Degree of Master of Science in Prosthodontics

Department of Prosthodontics

Faculty of Dentistry

Chulalongkorn University

Academic Year 2002

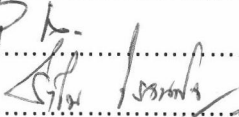
ISBN 974-17-2501-9



เพ็ญชชา เจริญพานิช : ความทนแรงดึงของไฮบริไดซ์เดนตินและวัสดุบูรณะเรซินคอมโพสิต. (Tensile strength of hybridized dentin and resin composite)

อ.ที่ปรึกษา : รองศาสตราจารย์ ทันตแพทย์หญิง ดร. มรกต เปี่ยมใจ, อ.ที่ปรึกษาร่วม : รองศาสตราจารย์ ทันตแพทย์หญิง รำไพ โรจนกิจ, 74 หน้า. ISBN 974-17-2501-9.

การวิจัยนี้มีวัตถุประสงค์ เพื่อเปรียบเทียบความทนแรงดึงของไฮบริไดซ์เดนตินที่ผ่านการปรับสภาพเนื้อฟันด้วยกรด 2 ชนิด กับเนื้อฟันและวัสดุบูรณะเรซินคอมโพสิต โดยเตรียมชิ้นเนื้อฟันรูปดัมเบล ขนาดพื้นที่หน้าตัด 3x1 ตารางมิลลิเมตร จำนวน 30 ชิ้น แบ่งเป็นกลุ่มควบคุม 10 ชิ้น อีก 20 ชิ้นนำไปเตรียมเป็นไฮบริไดซ์เดนตินที่ผ่านการปรับสภาพเนื้อฟันด้วยเฟอร์ริกคลอไรด์ 3 เปอร์เซ็นต์ในกรดซิตริก 10 เปอร์เซ็นต์ (HD10-3) 10 ชิ้น และไฮบริไดซ์เดนตินที่ผ่านการปรับสภาพเนื้อฟันด้วยเฟอร์ริกคลอไรด์ 1 เปอร์เซ็นต์ในกรดซิตริก 1 เปอร์เซ็นต์ (HD1-1) 10 ชิ้น โดยแช่กรดเป็นเวลา 6 ชั่วโมงและ 60 ชั่วโมง ตามลำดับ จากนั้นแช่ในไฟร์เมตา(4-META) 5 เปอร์เซ็นต์ในอะซีโตน เป็นเวลา 48 ชั่วโมง และแช่ในส่วนเหลวของเรซินซีเมนต์ชนิดซูเปอร์บอนด์ซีแอนด์บี(4-META/MMA) เก็บไว้ในที่มืด เป็นเวลา 48 ชั่วโมง นำใส่แบบพิมพ์ที่มีส่วนผสมเรซินซีเมนต์ชนิดซูเปอร์บอนด์ซีแอนด์บี(4-META/MMA-TBB+PMMA) ทิ้งไว้ให้วัสดุแข็งที่อุณหภูมิ 23±2 องศาเซลเซียส เตรียมชิ้นวัสดุบูรณะเรซินคอมโพสิตชนิดเมทาฟิลและพี60 รูปดัมเบลขนาดเท่ากัน กลุ่มละ 10 ชิ้น นำชิ้นดัมเบลทุกกลุ่ม เก็บไว้ในน้ำกลั่นที่อุณหภูมิ 37 องศาเซลเซียส เป็นเวลา 24 ชั่วโมง จากนั้นนำไปทดสอบค่าความทนแรงดึงด้วยเครื่องทดสอบแรงแบบสากล บันทึกค่าแรงสูงสุดที่ทำให้ชิ้นตัวอย่างหัก เปรียบเทียบพื้นผิวของชิ้นตัวอย่างด้วยกล้องจุลทรรศน์อิเล็กตรอนแบบส่องกราด จากการวิเคราะห์ความแปรปรวนแบบทางเดียวพบว่า ระหว่างกลุ่มมีค่าความทนแรงดึงแตกต่างกันที่ระดับนัยสำคัญ 0.001 และการเปรียบเทียบเชิงซ้อนแบบต้นเนท ที่รี ของค่าความทนแรงดึง ได้ผลดังนี้ ค่าเฉลี่ยความทนแรงดึง±ส่วนเบี่ยงเบนมาตรฐานระหว่างกลุ่ม HD10-3 (42.67±5.88 MPa), HD1-1 (38.28±4.53 MPa) และเมทาฟิล (47.4±6.94 MPa) มีค่าไม่แตกต่างกันที่ระดับนัยสำคัญ 0.05 และระหว่างกลุ่มพี60 (79.79±10.65 MPa) และเนื้อฟัน (73.62±10.78 MPa) มีค่าไม่แตกต่างกันที่ระดับนัยสำคัญ 0.05 เช่นกัน จากการตรวจพื้นผิวน้ำตัดบริเวณที่หัก และพื้นผิวขัดเรียบด้วยกล้องจุลทรรศน์อิเล็กตรอนแบบส่องกราด พบว่า กลุ่ม HD10-3 และ HD1-1 มีเรซินอยู่เต็มท่อนเนื้อฟันและระหว่างท่อนลักษณะเรซินในท่อนเนื้อฟันมีแนวโน้มไม่ยึดติดกับผนังท่อนเนื้อฟัน พื้นผิวน้ำตัดบริเวณที่หักของกลุ่มพี60 มีรอยการหลุดของวัสดุอุดแทรกออกจากเรซินเมทริกซ์แต่กลุ่มเมทาฟิลไม่พบรอยการหลุดของวัสดุอุดแทรก สรุปผลการทดลองพบว่า การเตรียมไฮบริไดซ์เดนตินโดยใช้กรด 10-3 และ 1-1 ให้ค่าความทนแรงดึงไม่แตกต่างกัน โดยมีค่าใกล้เคียงกับเมทาฟิลซึ่งมีองค์ประกอบส่วนใหญ่เป็นอินทรีย์สาร แต่ต่ำกว่าพี60 และเนื้อฟัน ซึ่งมีองค์ประกอบส่วนใหญ่เป็นอนินทรีย์สาร

ภาควิชา	ทันตกรรมประดิษฐ์	ลายมือชื่อนิสิต..... เพ็ญชชา เจริญพานิช
สาขาวิชา	ทันตกรรมประดิษฐ์	ลายมือชื่ออาจารย์ที่ปรึกษา..... 
ปีการศึกษา	2545	ลายมือชื่ออาจารย์ที่ปรึกษาร่วม..... 

## 4376108132 : MAJOR PROSTHODONTICS

KEYWORD : HYBRIDIZED DENTIN / DENTIN / COLLAGEN / TENSILE STRENGTH / RESIN COMPOSITE

PENTHACHA CHAROENPANICH : TENSILE STRENGTH OF HYBRIDIZED DENTIN

AND RESIN COMPOSITE. THESIS ADVISOR : ASSOCIATE PROFESSOR DR.

MORAKOT PIEMJAI, THESIS COADVISOR : ASSOCIATE PROFESSOR RAMPAI

ROCHANAKIT, 74 pp. ISBN 974-17-2501-9.

The purpose of this study was to compare tensile strengths of hybridized bovine dentin, bovine dentin and resin composites. Thirty dumbbell specimens of dentin, cross sectional area of  $3 \times 1 \text{ mm}^2$ , were fabricated and divided into 3 groups ; ten specimens were control, twenty specimens were used to form hybridized dentins either conditioning with 3% ferric chloride in 10% citric acid for 6 hours (HD10-3) or 1% ferric chloride in 1% citric acid for 60 hours (HD1-1). Demineralized dentins of each group were soaked in 5% 4-META in acetone for 48 hours, then in 4-META/MMA monomer for 48 hours without light exposure. Soaked specimens were placed in the standardized mold luted with Superbond C&B resin cement (4-META/MMA-TBB+PMMA) at  $23 \pm 2 \text{ }^\circ\text{C}$  until setting of cement. Ten dumbbell specimens of Metafil and P60 resin composites were fabricated using the standardized mold. All specimens were immersed in distilled water at  $37 \text{ }^\circ\text{C}$  for 24 hours before loaded in tension to failure using Instron Machine. The tensile breaking forces were recorded and the fractured surfaces were examined under a scanning electron microscope. One-way ANOVA found highly significant differences in tensile strength among groups ( $p < 0.001$ ). Dunnett T3 test revealed no significant difference ( $p > 0.05$ ) in tensile strength  $\pm$ SD among HD10-3 ( $42.67 \pm 5.88$  MPa), HD1-1 ( $38.28 \pm 4.53$  MPa), and Metafil ( $47.4 \pm 6.94$  MPa), and between P60 ( $79.79 \pm 10.65$  MPa) and dentin ( $73.62 \pm 10.78$  MPa). Fracture surfaces and polished surfaces demonstrated high infiltration of resin in both intertubular and intratubular demineralized dentin of HD10-3 and HD1-1 groups, the fractures mostly occurred at the intertubular and intratubular interface. Inorganic fillers detachment occurred at the fractured surfaces of P60, but not found in Metafil. In conclusion, the tensile strengths of hybridized dentins either conditioning with 10-3 or 1-1 and Metafil were not significantly different, but lower than P60 and bovine dentin. The reason might be from their different major components, the organic fillers in the former groups and inorganic fillers in the latter groups.

Department	Prosthodontics.	Student's signature.....	
Field of study	Prosthodontics	Advisor's signature.....	
Academic year	2002	Co-advisor's signature.....	

## กิตติกรรมประกาศ

วิทยานิพนธ์ฉบับนี้สำเร็จลุล่วงได้ด้วยความช่วยเหลืออย่างดียิ่งของรองศาสตราจารย์  
ทันตแพทย์หญิง ดร.มรกต เปี่ยมใจ และรองศาสตราจารย์ทันตแพทย์หญิงรำไพ โรจนกิจ ผู้เป็น  
อาจารย์ที่ปรึกษา ทำให้การดำเนินการขั้นตอนต่างๆ สะดวกราบรื่นและมีประสิทธิภาพตลอดการ  
ทำงานในครั้งนี้ นอกจากนี้ขอขอบคุณบริษัทอุดม เมดิคัล ที่ให้ความสนับสนุนเรซินซีเมนต์ชนิด  
ซูเปอร์บอนด์ซีแอนด์บี และวัสดุบูรณะเรซินคอมโพสิตชนิดเมทาฟิล และบริษัท 3เอ็ม ประเทศไทย  
จำกัด ที่ให้ความสนับสนุนวัสดุบูรณะเรซินคอมโพสิตชนิดพี60 รวมทั้งเจ้าหน้าที่ในศูนย์วิจัยทันต-  
วัสดุศาสตร์และศูนย์วิจัยชีววิทยาช่องปากทุกท่าน ที่ให้ความช่วยเหลือแนะนำในการใช้เครื่องมือ  
และสถานที่ในการทำวิจัย

ขอขอบพระคุณคณะกรรมการทุกท่านที่กรุณาใช้เวลาตรวจสอบวิทยานิพนธ์และให้คำ  
แนะนำที่เป็นประโยชน์สำหรับการปรับปรุงเนื้อหาวิทยานิพนธ์ให้สมบูรณ์ยิ่งขึ้น

สุดท้ายขอขอบพระคุณบิดามารดาที่สนับสนุนและให้กำลังใจผู้วิจัยตลอดมา

เพ็ญธชา เจริญพานิช

ศูนย์วิทยทรัพยากร  
จุฬาลงกรณ์มหาวิทยาลัย

## สารบัญ

	หน้า
บทคัดย่อภาษาไทย.....	ง
บทคัดย่อภาษาอังกฤษ.....	จ
กิตติกรรมประกาศ.....	ฉ
สารบัญ.....	ช
สารบัญตาราง.....	ฅ
สารบัญภาพ.....	ญ
 บทที่	
1. บทนำ.....	1
ความเป็นมาและความสำคัญของปัญหา.....	1
วัตถุประสงค์ของการวิจัย.....	2
ข้อตกลงเบื้องต้น.....	2
ข้อจำกัดของการวิจัย.....	3
คำจำกัดความที่ใช้ในการวิจัย.....	3
สมมติฐานการวิจัย.....	4
ประโยชน์ที่คาดว่าจะได้รับ.....	4
การออกแบบการวิจัย.....	4
2. เอกสารและงานวิจัยที่เกี่ยวข้อง.....	5
ส่วนประกอบของเนื้อพื้.....	5
หลักการไฮบริดดิ้ง.....	6
ประวัติความเป็นมา.....	6
กลไกการเกิด.....	7
ลักษณะและคุณสมบัติ.....	9
ระบบการยึดติด.....	11
การเตรียมผิวพื้แห้ง.....	12
การเตรียมผิวพื้ขึ้น.....	13
การใช้กรดร่วมกับกาวไฟร์เมอร์.....	15

## สารบัญ (ต่อ)

	หน้า
2. เอกสารและงานวิจัยที่เกี่ยวข้อง (ต่อ)	
วิธีทดสอบความทนแรงดึงยืด.....	16
ความทนแรงดึง.....	17
วัสดุบุรณะชนิดเรซินคอมโพสิต.....	19
ชนิดต่างๆ ของวัสดุบุรณะเรซินคอมโพสิต.....	21
3. วิธีดำเนินการวิจัย.....	23
กลุ่มตัวอย่าง.....	23
เครื่องมือที่ใช้ในการวิจัย.....	23
การเตรียมชิ้นตัวอย่าง.....	24
การเตรียมชิ้นเนื้อฟันวี.....	24
การเตรียมไฮบริดซ์เดนทีน.....	26
การเตรียมวัสดุบุรณะเรซินคอมโพสิต.....	28
การทดสอบความทนแรงดึง.....	29
การตรวจพื้นผิวหน้าตัดบริเวณที่หักด้วยกล้องจุลทรรศน์อิเล็กตรอน-	
แบบส่องกราด.....	31
การตรวจพื้นผิวขัดเรียบด้วยกล้องจุลทรรศน์อิเล็กตรอนแบบส่องกราด.....	31
การเก็บรวบรวมและวิเคราะห์ข้อมูล.....	32
4. ผลการทดลอง.....	33
5. สรุปผลการวิจัย อภิปรายผลและข้อเสนอแนะ.....	45
รายการอ้างอิง.....	53
ภาคผนวก.....	62
ประวัติผู้เขียนวิทยานิพนธ์.....	74

## สารบัญตาราง

ตารางที่ 1	แสดงคุณสมบัติทางกลของเนื้อพื้ น ดีมีนเนอรัลไรซ์เดนทีน และไฮบริดไค้ เดนทีน (ค่าเฉลี่ย $\pm$ ส่วนเบี่ยงเบนมาตรฐาน).....	18
ตารางที่ 2	แสดงค่าเฉลี่ยความทนแรงดึงและส่วนเบี่ยงเบนมาตรฐานของกลุ่มทดลอง (เมกกะปาสคาล).....	33
ตารางที่ 3	การเปรียบเทียบเชิงซ้อนแบบด้นเนท ทีทีรี.....	34
ตารางที่ 4	แสดงค่าความทนแรงดึงของกลุ่มเนื้อพื้ นว้ว (เมกกะปาสคาล).....	66
ตารางที่ 5	แสดงค่าความทนแรงดึงของกลุ่มไฮบริดไค้เดนทีนที่ผ่านการปรับสภาพ เนื้อพื้ นว้วด้วยกรด 10-3 (เมกกะปาสคาล).....	67
ตารางที่ 6	แสดงค่าความทนแรงดึงของกลุ่มไฮบริดไค้เดนทีนที่ผ่านการปรับสภาพ เนื้อพื้ นว้วด้วยกรด 1-1 (เมกกะปาสคาล).....	68
ตารางที่ 7	แสดงค่าความทนแรงดึงของกลุ่มวัสดุบูรณะเรซินคอมโพสิตชนิดเมทาฟิล (เมกกะปาสคาล).....	69
ตารางที่ 8	แสดงค่าความทนแรงดึงของกลุ่มวัสดุบูรณะเรซินคอมโพสิตชนิดพี60 (เมกกะปาสคาล).....	70
ตารางที่ 9	แสดงการทดสอบการกระจายตัวของข้อมูล.....	71
ตารางที่ 10	แสดงการทดสอบข้อมูลด้วยการทดสอบความแปรปรวนแบบทางเดียว.....	72
ตารางที่ 11	แสดงการทดสอบความเท่ากันของความแปรปรวนของประชากร.....	72
ตารางที่ 12	แสดงการทดสอบข้อมูลด้วยการเปรียบเทียบเชิงซ้อนแบบด้นเนท ทีทีรี.....	73

## สารบัญภาพ

หน้า

รูปที่ 1	ภาพถ่ายด้วยกล้องจุลทรรศน์อิเล็กตรอนแบบส่องผ่าน แสดงชั้นไฮบริด.....	8
รูปที่ 2	ภาพถ่ายด้วยกล้องจุลทรรศน์อิเล็กตรอนแบบส่องกราด แสดงชั้นไฮบริด.....	8
รูปที่ 3	ภาพถ่ายด้วยกล้องจุลทรรศน์อิเล็กตรอนแบบส่องกราด แสดงชั้นไฮบริด ที่สมบูรณ์ ภายหลังจากกรดไฮโดรคลอริกความเข้มข้น 6 โมลต่อลิตร 30 วินาที และแช่สารละลายไซเดียมไฮโปคลอไรท์ 1 เปอร์เซ็นต์ 10 นาที.....	10
รูปที่ 4	ภาพถ่ายด้วยกล้องจุลทรรศน์อิเล็กตรอนแบบส่องกราด แสดงชั้นไฮบริดที่ ไม่สมบูรณ์ สลายไปภายหลังจากกรดไฮโดรคลอริกความเข้มข้น 6 โมลต่อลิตร 30 วินาที และแช่สารละลายไซเดียมไฮโปคลอไรท์ 1 เปอร์เซ็นต์ 10 นาที.....	10
รูปที่ 5	แสดงแนวการตัดฟันด้านข้าง ด้านหน้า และขนาดของซินด์มัมเบลล์.....	25
รูปที่ 6	แสดงแผ่นขึ้นเนื้อฟันวุ้นที่ตัดในระนาบตามแกนใกล้กลาง-ไกลกลาง ก. ก่อนคัดลอกรูปร่างมินิเดมัมเบลล์.....	25
	ข. ภายหลังจากคัดลอกรูปร่างมินิเดมัมเบลล์.....	25
รูปที่ 7	แสดงแผ่นขึ้นเนื้อฟันวุ้นที่ตัดเป็นรูปเดมัมเบลล์.....	26
รูปที่ 8	แสดงแบบพิมพ์แผ่นโพลีเตตระฟลูออโรเอธิลีน.....	26
รูปที่ 9	แสดงเรซินซีเมนต์ชนิดซูเปอร์บอนด์ซีแอนด์บี ก. ส่วนผง (PMMA) และแคทตะลิสต์ (TBB).....	27
	ข. ส่วนเหลวของเรซินซีเมนต์ชนิดซูเปอร์บอนด์ซีแอนด์บี (4-META/MMA).....	27
รูปที่ 10	แสดงชิ้นตัวอย่างหลังการแช่ส่วนเหลวของเรซินซีเมนต์ชนิดซูเปอร์บอนด์ ซีแอนด์บี ในแบบพิมพ์โพลีเตตระฟลูออโรเอธิลีนที่มีส่วนผสมเรซินซีเมนต์ ซูเปอร์บอนด์ซีแอนด์บี.....	28
รูปที่ 11	แสดงการอัดวัสดุบูรณะเรซินคอมโพสิตลงในแบบพิมพ์ ปิดทับด้วยแผ่น กระจกและฉายแสง.....	29
รูปที่ 12	แสดงวัสดุบูรณะเรซินคอมโพสิตที่ใช้ คือ ชนิดเมทาฟิลและพี60.....	29
รูปที่ 13	แสดงการยึดชิ้นงานทดสอบด้วยแผ่นพลาสติกชนิดโพลีเมทิลเมทาคริเลต.....	30
รูปที่ 14	แสดงการยึดชิ้นตัวอย่างรูปเดมัมเบลล์ติดกับแผ่นพลาสติกโดยมีแม่แบบ กำหนด.....	30
รูปที่ 15	แสดงชิ้นตัวอย่างขณะได้รับแรงดึง.....	31
รูปที่ 16	กราฟแสดงค่าเฉลี่ยความทนแรงดึงและส่วนเบี่ยงเบนมาตรฐาน (MPa).....	33
รูปที่ 17	แสดงชั้นไฮบริดซ์เดนทีนที่มีเรซินซีเมนต์ล้อมรอบ.....	35

## สารบัญภาพ(ต่อ)

หน้า

รูปที่ 18	ภาพถ่ายด้วยกล้องจุลทรรศน์อิเล็กตรอนแบบส่องกราด แสดงพื้นผิวบริเวณที่หักของกลุ่มเนื้อฟันวัว.....	37
รูปที่ 19	ภาพถ่ายด้วยกล้องจุลทรรศน์อิเล็กตรอนแบบส่องกราด แสดงพื้นผิวบริเวณที่หักของกลุ่มไฮบริดซ์เดนทินที่ผ่านการปรับสภาพด้วยกรด 10-3.....	38
รูปที่ 20	ภาพถ่ายด้วยกล้องจุลทรรศน์อิเล็กตรอนแบบส่องกราด แสดงพื้นผิวบริเวณที่หักของกลุ่มไฮบริดซ์เดนทินที่ผ่านการปรับสภาพด้วยกรด 1-1.....	38
รูปที่ 21	ภาพถ่ายด้วยกล้องจุลทรรศน์อิเล็กตรอนแบบส่องกราด แสดงพื้นผิวบริเวณที่หักของกลุ่มวัสดุบูรณะเรซินคอมโพสิตชนิดพี60.....	39
รูปที่ 22	ภาพถ่ายด้วยกล้องจุลทรรศน์อิเล็กตรอนแบบส่องกราด แสดงพื้นผิวบริเวณที่หักของกลุ่มวัสดุบูรณะเรซินคอมโพสิตชนิดเมทาฟิล.....	39
รูปที่ 23	ภาพถ่ายด้วยกล้องจุลทรรศน์อิเล็กตรอนแบบส่องกราด แสดงพื้นผิวขัดเรียบของกลุ่มเนื้อฟันวัว.....	41
รูปที่ 24	ภาพถ่ายด้วยกล้องจุลทรรศน์อิเล็กตรอนแบบส่องกราด แสดงพื้นผิวขัดเรียบของกลุ่มไฮบริดซ์เดนทินที่ผ่านการปรับสภาพด้วยกรด 1-1.....	41
รูปที่ 25	ภาพถ่ายด้วยกล้องจุลทรรศน์อิเล็กตรอนแบบส่องกราด แสดงพื้นผิวขัดเรียบของกลุ่มไฮบริดซ์เดนทินที่ผ่านการปรับสภาพด้วยกรด 10-3.....	42
รูปที่ 26	ภาพถ่ายด้วยกล้องจุลทรรศน์อิเล็กตรอนแบบส่องกราด แสดงพื้นผิวขัดเรียบของกลุ่มไฮบริดซ์เดนทินที่ผ่านการปรับสภาพด้วยกรด 10-3 ที่มีเรซินภายในท่อเนื้อฟันกลืนเป็นเนื้อเดียวกับผนังท่อเนื้อฟัน.....	43
รูปที่ 27	ภาพถ่ายด้วยกล้องจุลทรรศน์อิเล็กตรอนแบบส่องกราด แสดงพื้นผิวขัดเรียบของกลุ่มไฮบริดซ์เดนทินที่ผ่านการปรับสภาพด้วยกรด 10-3 ที่มีช่องว่างขนาดใหญ่ระหว่างเรซินกับผนังท่อเนื้อฟัน.....	43
รูปที่ 28	ภาพถ่ายด้วยกล้องจุลทรรศน์อิเล็กตรอนแบบส่องกราด แสดงพื้นผิวขัดเรียบของกลุ่มวัสดุบูรณะเรซินคอมโพสิตชนิดพี60.....	44
รูปที่ 29	ภาพถ่ายด้วยกล้องจุลทรรศน์อิเล็กตรอนแบบส่องกราด แสดงพื้นผิวขัดเรียบของกลุ่มวัสดุบูรณะเรซินคอมโพสิตชนิดเมทาฟิล.....	44
รูปที่ 30	กราฟแสดงค่าแรงดึงสูงสุดที่ทำให้กลุ่มเนื้อฟันวัวแตกหัก.....	63
รูปที่ 31	กราฟแสดงค่าแรงดึงสูงสุดที่ทำให้กลุ่มไฮบริดซ์เดนทินที่ผ่านการปรับสภาพเนื้อฟันวัวด้วยกรด 10-3 แตกหัก.....	63

## สารบัญญภาพ(ต่อ)

หน้า

รูปที่ 32	กราฟแสดงค่าแรงดึงสูงสุดที่ทำให้กลุ่มไฮบริดไคโตนที่ผ่านการปรับสภาพ เนื้อพื้นผิวด้วยกรด 1-1 แแตกหัก.....	64
รูปที่ 33	กราฟแสดงค่าแรงดึงสูงสุดที่ทำให้กลุ่มวัสดุบูรณะเรซินคอมโพสิตชนิดเมทาฟิล แตกหัก.....	64
รูปที่ 34	กราฟแสดงค่าแรงดึงสูงสุดที่ทำให้กลุ่มวัสดุบูรณะเรซินคอมโพสิตชนิดพี60 แตกหัก.....	65



ศูนย์วิทยทรัพยากร  
จุฬาลงกรณ์มหาวิทยาลัย